

بررسی دولومیت زفره به عنوان ماده اولیه نسوز و تهیه آجردولومیت زیرکنیایی

نوشته: خالد طهماسبی پور* و سید محمد پورمعافی**

* سازمان زمین‌شناسی و اکتشافات معدنی کشور، تهران، ایران **دانشگاه شهید بهشتی، دانشکده علوم زمین، تهران، ایران

Investigation of Zefreh Dolomite as a Refractory Raw Material and Preparation of Dolomite Zirconia Bricks

By: Kh. Tahmasbi Poor * & M. Poormoafi**

*Geological Survey of Iran, Tehran, Iran

**Shahid Beheshti University, Faculty of Earth Sciences, Tehran, Iran

تاریخ پذیرش: ۱۳۸۶/۰۴/۱۳ تاریخ دریافت: ۱۳۸۵/۱۰/۱۹

چکیده

برای انجام این تحقیق از معدن دولومیت زفره نمونه‌برداری شد. سپس برای شناسایی ماده خام آزمایش‌های تجزیه شیمیایی، پراش پرتو ایکس و مطالعات میکروسکوپی صورت پذیرفت. نمونه‌های خام تا ۱۷۰۰ درجه سانتی گراد حرارت داده شدند که طی آن دولومیت₂ (CaO,MgO) به دولوما (CaO,MgO) تبدیل شد. برای تهیه نمونه‌های دولومیت زیرکنیایی از زیرکن (ZrSiO₄) (شوروی سابق) و زیرکنیا (ZrO₂) (آفریقای جنوبی) استفاده شد. نمونه‌های حاوی درصد مختلفی از زیرکن و زیرکنیا تا ۱۶۰۰ درجه سانتی گراد در زمان معین حرارت داده شدند. آزمایش‌های تعیین درصد تخلخل ظاهری، وزن مخصوص، پراش پرتو ایکس، استحکام فشاری سرد، مقاومت آبگیری و مطالعات میکروسکوپ الکترونی (SEM) روی نمونه‌های پخته شده انجام پذیرفت. نتایج نشان داد که نمونه‌های تهیه شده از زیرکنیا نسبت به زیرکن کیفیت بالاتری دارند.

کلید واژه‌ها: دولوما، زیرکنیا، استحکام فشاری سرد، مقاومت آبگیری

Abstract

In this study, samples from Zefreh dolomite mine were characterized by X-ray diffraction and microscopic study. Dolomite samples were heated up to 1700°C to produce doloma. Zircon and zirconia were used for preparation of dolomite – zirconia refractories. Samples containing different contents of zirconia and zircon were heated up to 1600 °C. Apparent porosity, bulk density, X-ray diffraction, cold compressive strength, hydration resistance tests and SEM studies were carried out on the fired samples. Results show that samples containing zirconia have higher quality than samples containing zircon without additives.

Keywords: Doloma, Zirconia, Cold compressive strength, Hydration resistance.

مقدمه

استفاده می‌شود. دولومیت در اثر گرمابه براساس فرمول $\text{CaO}, \text{MgO} + \text{CO}_2 \rightarrow \text{CaO}, \text{MgO} (\text{CO}_3)_2$ با ترکیب CaO, MgO تبدیل می‌شود. فاز CaO موجود در دولوما جاذب رطوبت بوده و براساس واکنش $\text{CaO} + \text{H}_2\text{O} \rightarrow \text{Ca}(\text{OH})_2$ آب می‌گیرد.

دولومیت، کربنات دوگانه کلسیم و منیزیم $(\text{Ca}, \text{Mg})(\text{CO}_3)_2$ و یکی از کانیهای دارای نقطه ذوب بالا (در حدود ۲۲۰۰ درجه سانتی گراد) است. همچنین دارای ویژگیهایی مانند سروپیس دهی دما بالا، مقاومت بالا نسبت به فرایند خوردگی سرباره و توانایی تشکیل پوشش پایدار در کوره‌های سیمان است. از این لحاظ به عنوان ماده اولیه در تهیه دیرگدازهای دولومیتی



نظر کیفیت مطلوبی دارد. برای مطالعه و بررسی ساخت و بافت میکروسکوپی نمونه‌های دولومیتی، مقاطع نازک تهیه شد که شکل‌های ۱ تا ۴ نمونه‌های منتخب مطالعه شده را نشان می‌دهد. نتیجه مطالعه میکروسکوپی حضور چهار نسل دولومیت را نشان می‌دهد که عبارت است از: دولومیکرایت با اندازه $6\text{--}16\text{ }\mu\text{m}$ (شکل ۱)، میکرواسپاریت با اندازه $16\text{--}62\text{ }\mu\text{m}$ (شکل ۲)، دولواسپار با اندازه $62\text{--}6\text{ }\mu\text{m}$ (شکل ۳) و دولومیت رگه‌ای پرکننده تخلخل یارگاه‌ای به صورت درشت و بی‌شکل (شکل ۴) که خود یک توالی کامل تبلور دوباره را نشان می‌دهد. برای تهیه نمونه‌های دولومیت زیرکنیایی از زیرکنیا و زیرکن استفاده شد که تجزیه شیمیایی و پراش پرتو ایکس آن در جدول ۳ و ۴ آورده شده است.

۲-۲- تهیه نمونه‌های آزمایشگاهی

دولومیت ابتداء تا 1700°C درجه سانتی گراد حرارت داده شد تا به دولوما تبدیل شود. سپس نمونه‌های مختلفی که حاوی درصدهای متفاوتی از زیرکنیا و زیرکن (۲ تا ۵ درصد) بوده، یعنی سه گروه نمونه شامل نمونه‌های حاوی زیرکنیا، زیرکن و فاقد هر گونه افزودنی، تهیه شد. برای اتصال بهتر ذرات به یکدیگر، از مقداری رزین استفاده شد. در نهایت، نمونه‌ها در 1600°C درجه سانتی گراد در مدت زمان معین حرارت داده شدند.

۲-۳- شرح آزمایش‌های انجام گرفته

به طور کلی، بر روی نمونه‌های آزمایشگاهی پیش از پخت، آزمایش تعیین چگالی خام و پس از پخت آزمایش تعیین وزن مخصوص، درصد تخلخل ظاهری (جدول ۵، نمودارهای ۱ و ۲)، مقاومت آبگیری و استحکام فشاری سرد (جدول ۷ و نمودارهای ۳ تا ۶)، پراش پرتو ایکس (جدول ۶) و مطالعات ریز ساختاری از طریق میکروسکوپ الکترونی (SEM) انجام پذیرفت (شکل‌های ۵، ۶ و ۷).

نتایج پراش پرتو ایکس (XRD) نشان می‌دهد که در نمونه‌های فاقد زیرکنیا فقط دو فاز آهک (CaO) به صورت یک زمینه پیوسته و فاز پریکلاز (MgO) به صورت دانه‌های پراکنده در آن وجود دارد. در نمونه‌های حاوی زیرکنیا علاوه بر فازهای آهک و پریکلاز، فاز زیرکنات کلسیم (CaZrO₃) که حاصل و اکنثر آهک با زیرکنیا در دمای بالاست، حضور دارد. در نمونه‌های حاوی زیرکن، علاوه بر فازهای ذکر شده، فاز سیلیکات تری کلسیم (C₃S) که در اثر واکنش فاز آهک آزاد با سیلیس حاصل شده، حضور دارد. تصاویر میکروسکوپ الکترونی حضور این فازها را نشان می‌دهد.

نتایج تخلخل ظاهری و وزن مخصوص نمونه‌های حاوی زیرکنیا بهتر از دو نوع نمونه‌های دیگر است (جدول ۵) بدین دلیل که ضریب انساط گرمابی

این عمل باعث پایین آمدن مقاومت آبگیری آجرهای دولومیتی می‌شود که خود یکی از معایب این آجرهای است. لذا برای برطرف کردن این عیب باید فاز CaO آزاد موجود در دولوما را به گونه‌ای مهار کرد تا از این واکنش جلوگیری شود. یکی از روشهای مهار، افزودن زیرکنیا به این نوع آجرهای است. فاز زیرکنیا در دمای بالا با فاز CaO وارد واکنش شده و فاز ZrO₂ + CaO → CaZrO₃ کلسیم را به وجود می‌آورد. که این عمل باعث افزایش مقاومت آبگیری آجرهای دولومیتی می‌شود. آجرهای نسوز دولومیتی، به طور عمده در صنایع آهن و فولاد سیمان و کوره‌های پخت آهک کاربرد دارد. همچنین در صنعت آهن و فولاد در مدللهای فولادسازی، کوره‌های قوس الکتریکی و انواع پاتلهای ریخته گری مورد استفاده قرار می‌گیرد.

۱- زمین‌شناسی منطقه

منطقه مورد مطالعه در ۶۵ کیلومتری شمال خاور اصفهان واقع است. از نظر زمین‌ریخت‌شناسی، سیمای منطقه به طور عمده کوهستانی است. بیشتر ارتفاعات دولومیتی بوده و به طور کلی واحد دولومیت بیشتری بر اثر روراندگی در این منطقه در خط الرأس ارتفاعات دیده می‌شود. قدیمی‌ترین تولی آهک روسوبی منطقه دونین بالایی است که در مجاورت معدن دولومیت زفره واقع شده و سری سنگهای روسوبی آن شامل سنگ آهک، ماسه‌سنگ، سنگ کوارتزیتی، دولومیت و به مقدار جزئی شیل است. سنگهای روسوبی پر مین بالایی در این منطقه با ماسه‌سنگ شروع و سپس در قسمت بالا به دولومیت تبدیل می‌شود. توده نفوذی موجود در منطقه از نوع بازی و گابرویی است که سری رسویات متعلق به دونین بالایی را قطع کرده است.

سنگهای روسوبی تریاس در منطقه به صورت دولومیتهاي ستر لایه و از نظر زمانی معادل دولومیت شتری هستند. بر روی دولومیتهاي تریاس بالایی، شیل ارغوانی-تیره ژوراسیک به صورت هم‌شیب قرار دارند که این شیلها معادل سازند شمشک (لیاس) هستند.

۲- مواد اولیه و روش مطالعه

۲-۱- شناسایی مواد اولیه

ابتدا از دولومیت منطقه زفره نمونه برداری شد و برای شناسایی نمونه‌های منتخب، آزمایش‌های تجزیه شیمیایی (روش تر) و پراش پرتو ایکس (XRD) انجام گرفت که نتایج آن در جدولهای ۱ و ۲ نشان داده است. نتایج نشان می‌دهد که کانی اصلی تشکیل‌دهنده دولومیت با کمی ناخالصی کلسیت است. همچنین درصد MgO موجود در نمونه نشان می‌دهد که ذخیره دولومیت مورد

- بالا برد.
- ۲- مقاومت آبگیری نمونه‌های دولومیتی حاوی زیرکنیا بیشتر از نمونه‌های حاوی زیرکن و نمونه‌های فاقد زیرکنیا است.
- ۳- استحکام فشاری سرد نمونه‌های دولومیتی حاوی زیرکنیا بالاتر از دو گروه نمونه‌های دیگر است.
- ۴- نمونه‌های دولومیتی حاوی زیرکنیا در صد تحمل ظاهربین تر از نمونه‌های دولومیتی حاوی زیرکن و نمونه‌های فاقد زیرکنیا دارند و همچنین میزان چگالی اندازه‌گیری شده نمونه‌ها روندی عکس را طی می‌کند.
- ۵- با توجه به کاربرد اساسی نسوزهای دولومیتی در صنایع وجود ذخایر دولومیت گسترده با کیفیت بالا و قیمت ارزان در کشور، پیشنهاد می‌شود مطالعات تولید این نسوزها در سطح نیمه صنعتی ادامه یابد.

۴-تقدیر و تشکر

از همکاریهای آقای دکتر نوربخش و خانم مهندس سعیدی، مدیر بخش تحقیقات نسوز آذر اصفهان و کارشناس ارشد تحقیقات، نهایت تشکر را داریم.

فاز زیرکنات کلسیم، کمتر از فاز دی‌کلسیم سیلیکات و چگالی آن بیشتر است. جدول ۷ نشان می‌دهد که مقاومت آبگیری نمونه‌های حاوی زیرکنیا بالاتر از دو گروه دیگر یعنی نمونه‌های حاوی زیرکن و فاقد هرگونه افزودنی است. بدین علت که در گروه اول فقط فاز زیرکنات کلسیم حضور دارد و فاز CaO آزاد آن مهار شده است در گروه دوم، علاوه بر آن، فاز دی‌کلسیم سیلیکات تشکیل می‌شود که خود با رطوبت هوا واکنش می‌دهد و منجر به پایین آمدن مقاومت آبگیری نمونه‌ها می‌شود. در گروه سوم فاز CaO آزاد حضور دارد که در اثر واکنش با خود با رطوبت هوا زودتر نسبت به نمونه‌های دیگر آبدار می‌شود. همچنین نمونه‌های حاوی زیرکنیا دارای استحکام فشاری سرد بالاتری نسبت به نمونه‌های حاوی زیرکن و نمونه‌های فاقد زیرکنیاست. این موضوع را می‌توان به تحمل ظاهربینی و چگالی نسبت داد. چرا که هر چه تحمل ظاهربینی پایین و چگالی بالا باشد، نمونه استحکام فشاری سرد بالاتری خواهد داشت.

۴-نتیجه‌گیری

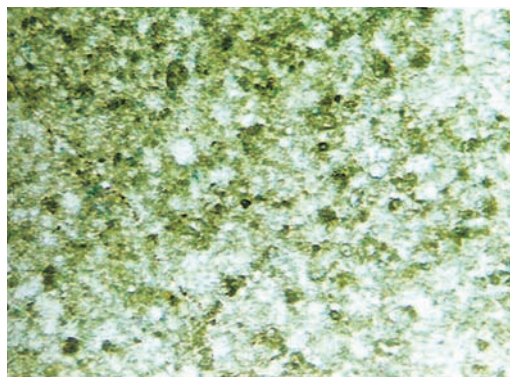
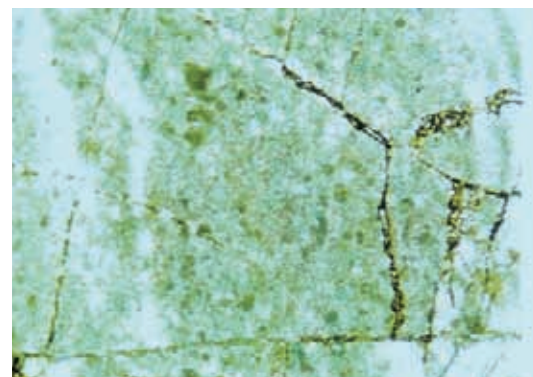
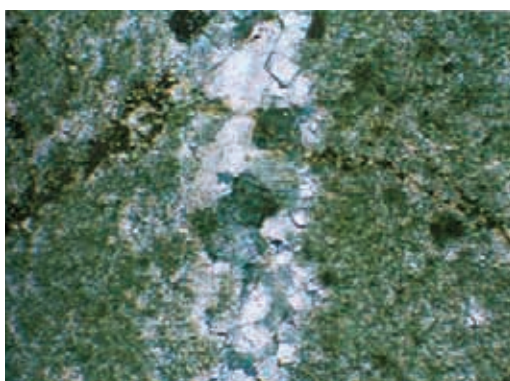
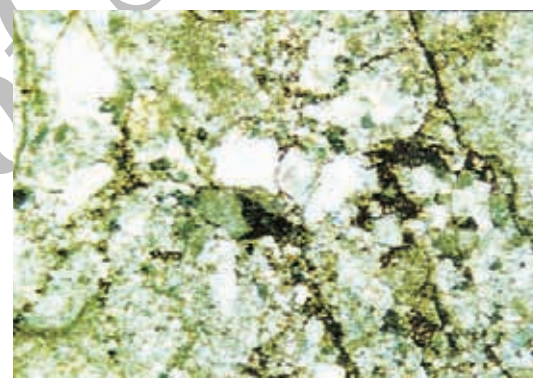
- ۱- با افروden زیرکنیا به آجرهای دولومیتی می‌توان مقاومت آبگیری آنها را

جدول ۱ - تجزیه شیمیایی نمونه‌های دولومیتی معدن زفره

L.O.I	SO_3	K_2O	Na_2O	SiO_2	Fe_2O_3	Al_2O_3	MgO	CaO	شماره نمونه
۴۷/۷۰	۰/۰۷	۰/۰۱	<۰/۰۱	۰/۱۴	۰/۲۱	۰/۰۲	۲۱/۳۴	۳۰/۳۹	Z1
۴۷/۱۸	۰/۰۲	۰/۰۴	<۰/۰۱	۰/۱۱	۰/۲۸	۰/۰۴	۲۱/۸۰	۳۰/۴۵	Z2
۴۷/۱۸	۰/۰۲	۰/۰۰۴	<۰/۰۱	۰/۱۱	۰/۲۸	۰/۰۴	۲۱/۸۰	۳۰/۲۲	Z3
۴۷/۳۶	۰/۰۲	۰/۰۱	<۰/۰۱	۰/۱۴	۰/۱۲	۰/۰۵	۲۱/۹۴	۳۰/۸۴	Z4

جدول ۲ - پراش پرتو ایکس نمونه‌های دولومیتی معدن زفره

کانیهای کمیاب	کانیهای فرعی	کانیهای اصلی	شماره نمونه
-	کلسیت	دولومیت	Z1
-	کلسیت	دولومیت	Z2
-	کلسیت	دولومیت	Z3
-	کلسیت	دولومیت	Z4


 شکل ۲ - میکرواسپاریت با بزرگنمایی $\times 25$

 شکل ۱ - دولومیکرایت با بزرگنمایی $\times 25$

 شکل ۴ - دولومیت رگه‌ای با بزرگنمایی $\times 25$

 شکل ۳ - دولواسپار با بزرگنمایی $\times 25$

جدول ۳ - ترکیب شیمیایی زیرکنیا (A) و زیرکن (B)

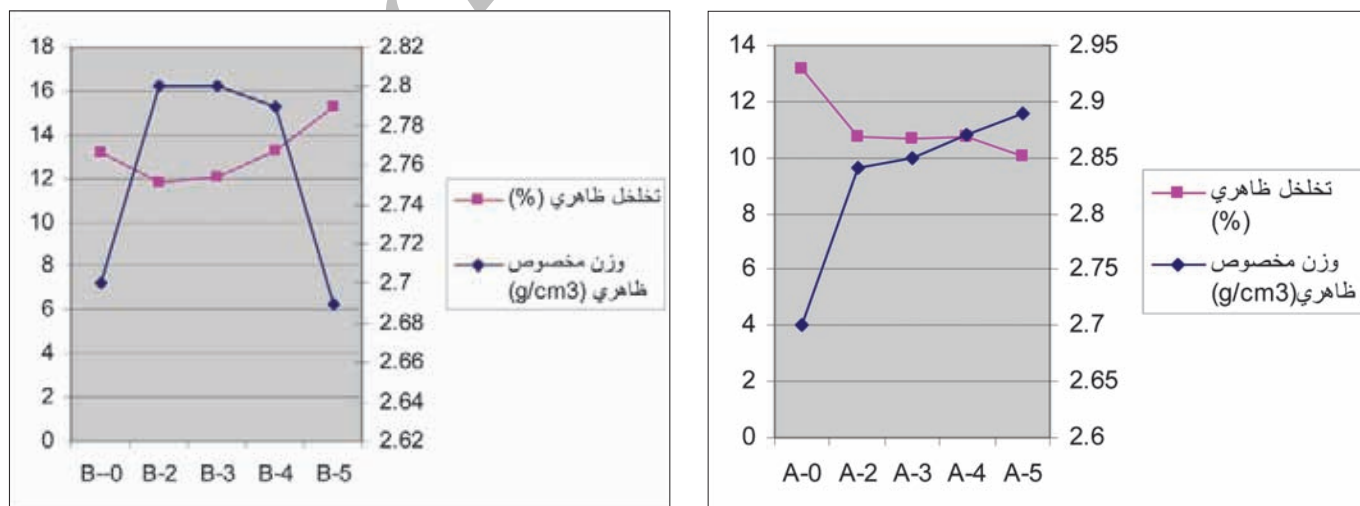
شماره نمونه	ZrO ₃	SiO ₂	TiO ₂	CaO	Fe ₂ O ₃	Al ₂ O ₃	ThO ₂
A	۹۹/۳۰	۰/۲۰	۰/۵	۰/۰۵	۰/۰۲	۰/۰۰۱	۰/۰۰۵
B	۵۸/۸۳	۲۳/۲۶	۰/۲۵	۰/۰۳	۰/۰۷	۰/۱۲	-

جدول ۴ - نتایج آزمایش پراش پرتو ایکس زیرکنیا (A) و زیرکن (B)

کد نمونه	نوع کانی
A	(Baddeleyite) بادلیت
B	(Zircon) زیرکن

جدول ۵ - نتایج آزمایش‌های اندازه‌گیری تخلخل ظاهری و وزن مخصوص کلی A = زیرکنیا B = زیرکن

خلخل ظاهری (%)	وزن مخصوص کلی g/cm ³	چگالی خام g/cm ³	شماره نمونه
۱۳/۱۴	۲/۷	۲/۷	A-0
۱۰/۷۱	۲/۸۴	۲/۷	A-2
۱۰/۷۰	۲/۸۵	۲/۷	A-3
۱۰/۷۱	۲/۸۷	۲/۷	A-4
۱۰/۰۷	۲/۸۹	۲/۷	A-5
۱۱/۸۴	۲/۸۰	۲/۷	B-2
۱۲/۰۹	۲/۸۰	۲/۷	B-3
۱۳/۲۳	۲/۷۹	۲/۷	B-4
۱۵/۲۷	۲/۶۹	۲/۷	B-5



نمودار ۲ - نمونه تغییرات تخلخل ظاهری و وزن مخصوص نسوزهای تهیه شده از زیرکن

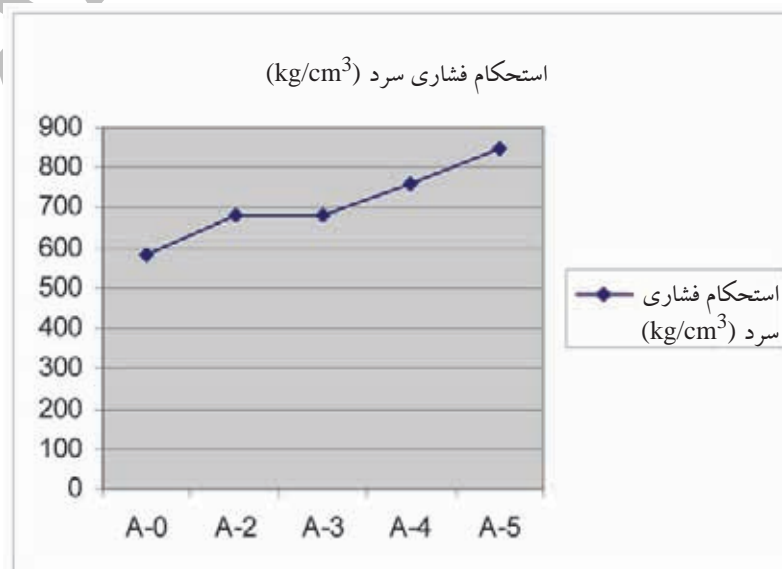
نمودار ۱ - نمودار تغییرات درصد تخلخل ظاهری و وزن مخصوص نسوزهای تهیه شده از زیرکنیا

جدول ۶ - نتیجه پراش پرتو ایکس نمونه‌های دولومیت-زیرکنیایی حاوی زیرکنیا (A) و زیرکن (B) و نمونه‌های فاقد زیرکنیا (C)

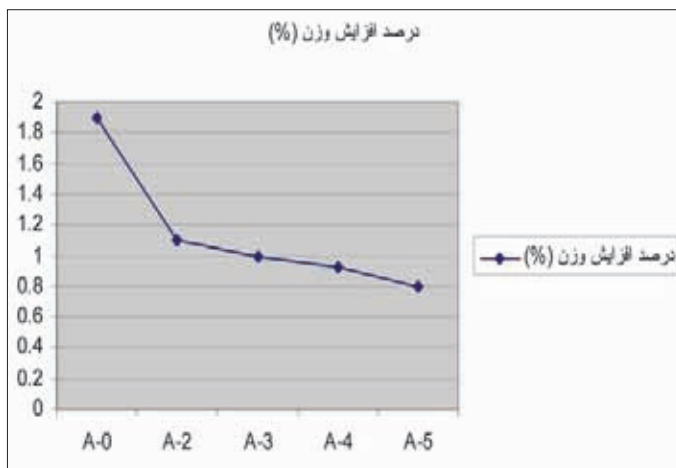
نوع کانی	کد نمونه
زیرکنات کلسیم - آهک (CaO) - پریکلаз	A
زیرکنات کلسیم - سیلیکات تری کلسیم (C_3S) - پرتلندیت ₂	B
آهک (CaO)-پریکلاز	C

جدول ۷-نتایج آزمایش استحکام فشاری سرد مقاومت آبگیری (درصد افزایش وزن) نمونه‌های دولومیت زیرکنیایی حاوی زیرکنیا (A)، زیرکن (B) و فاقد هر گونه افروزنی (A-0)

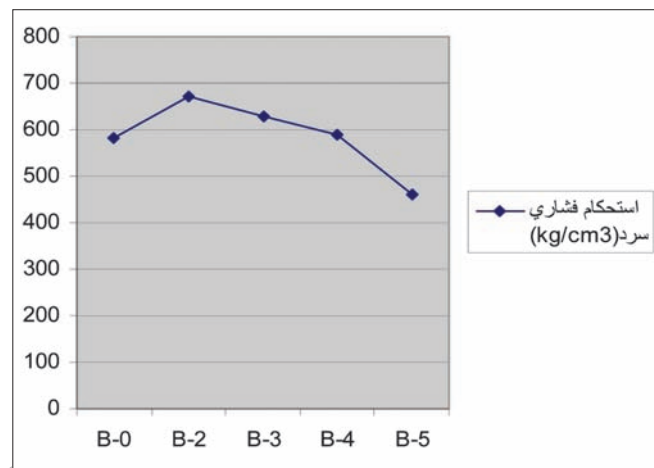
درصد افزایش وزن %	مقاومت فشاری سرد kg/cm ²	کد نمونه
۱/۹	۵۸۲	A-0
۱/۱	۶۸۳	A-2
۱	۶۸۴	A-3
۰/۹۲	۷۶۰	A-4
۰/۸۰	۸۴۹	A-5
۱/۲	۶۷۰	B-2
۱	۶۳۰	B-3
۰/۹۵	۵۸۸	B-4
۰/۹	۴۶۰	B-5



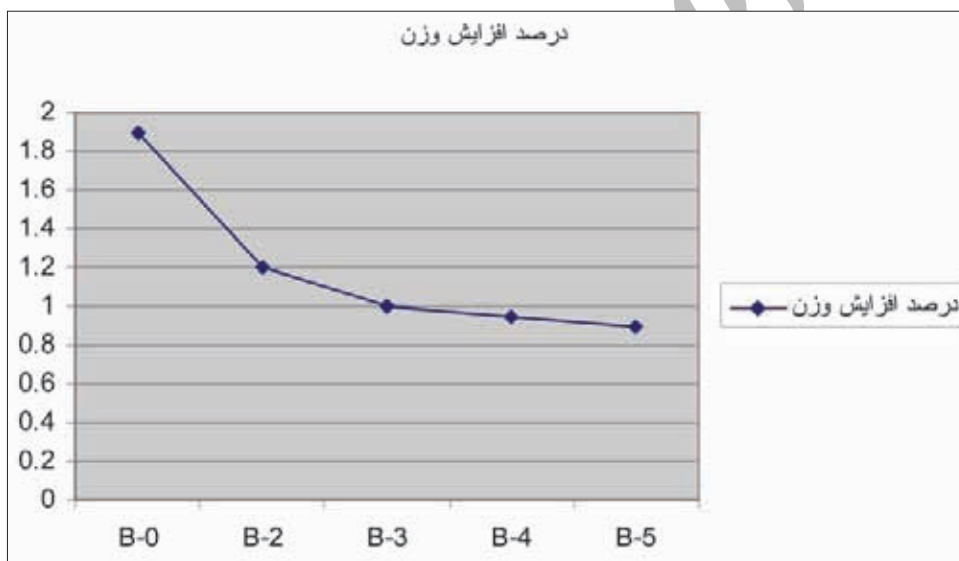
نمودار ۳-نمودار تغییرات استحکام فشاری سرد نمونه‌های دولومیت زیرکنیایی حاوی زیرکنیا و فاقد زیرکنیا



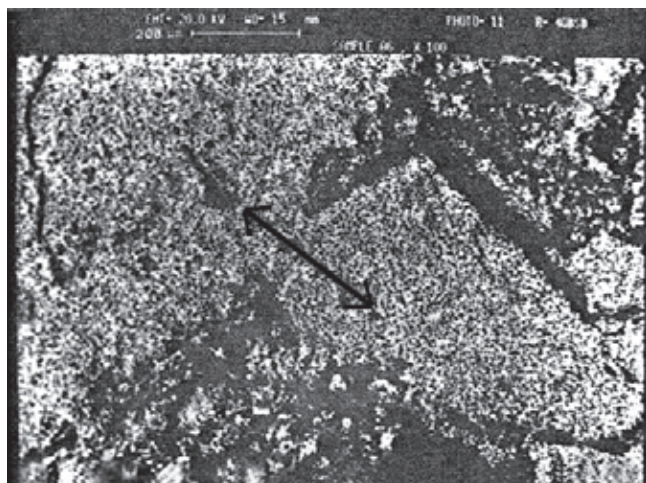
نمودار ۵ - نمودار تغییرات میزان آبگیری (درصد افزایش وزن) نمونه های حاوی زیرکنیا و فاقد هرگونه افزودنی دولومیت- زیرکنیایی حاوی زیرکن و فاقد هرگونه افزودنی



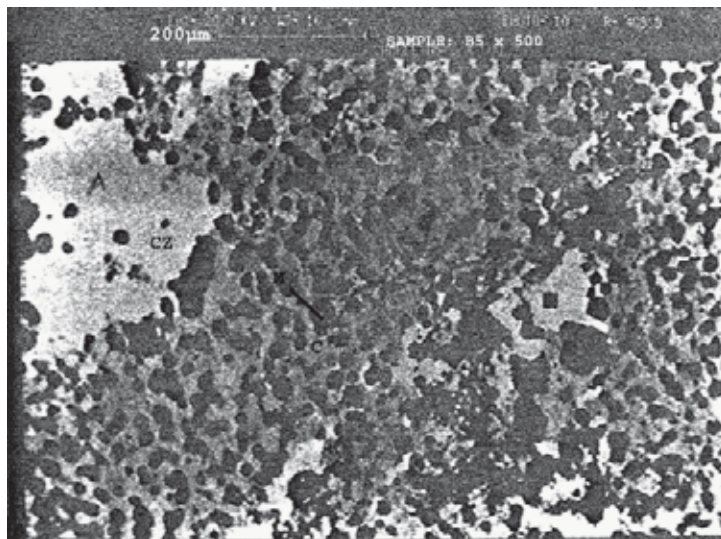
نمودار ۴ - نمودار تغییرات استحکام فشاری سرد نمونه های دولومیت- زیرکنیایی حاوی زیرکن و فاقد هرگونه افزودنی



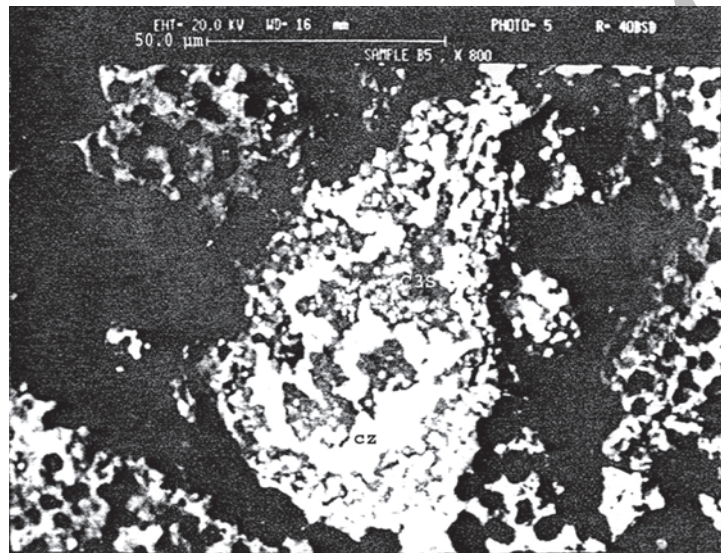
نمودار ۶ - نمودار تغییرات میزان آبگیری (درصد افزایش وزن) نمونه های حاوی زیرکن و فاقد هرگونه افزودنی



شکل ۵ - تصویر میکروسکوپ الکترونی اتصال مستقیم بین دانه ها دولوما نمونه دولومیتی فاقد هرگونه افزودنی. این نمونه پس از گرم کردن در 1600°C به علت عدم حضور هر گونه افزودنی فقط دارای فاز دولوما می باشد که از CaO و MgO تشکیل شده است. گرما باعث اتصال دانه های دولوما به همدیگر شده است . دولوما = D



شکل ۶- تصویر میکروسکوپ الکترونی نمونه دولومیتی- زیرکنیایی حاوی زیرکنیا. $M = \text{پریکلاز}$ ، $C = \text{آهک} (\text{CaO})$ ، زیرکنات کلسیم $\text{CZ} = \text{C}_3\text{S}$ این نمونه در 1600°C حرارت داده شده است. بر اثر آگرما زیرکنیا با قسمتی از آهک وارد واکنش شده و زیرکنات کلسیم تولید شده است.



شکل ۷- تصویر میکروسکوپ الکترونی نمونه دولومیت زیرکنیایی حاوی زیرکن: زیرکنات کلسیم $\text{CZ} = \text{C}_3\text{S}$ و تری سیلیکات کلسیم. در این نمونه به دلیل حضور زیرکن که نسبت به زیرکنیا سیلیس بالاتری دارد، پس از حرارت در 1600°C علاوه بر زیرکنات کلسیم، تری سیلیکات کلسیم تشکیل می‌شود.

کتابنگاری

رحیمی، ا. و متین، م.، ۱۳۶۸ - تکنولوژی سرامیکهای طریف، شرکت صنایع خاک چینی ایران
عزیزیان، م. ر.، ۱۳۶۵ - تکنولوژی پخت سیمان، شرکت مهندسی و قطعات سیمان ایران

References

- Chatillon, J.H., Schmidt-Whitly, R.D., 1988- Clean Steel and environment with fired dolomite , Proceedings of International Symposium on Refractories, China, 433-45
- Obst , K.H. & Muenchber, W., 1378- Mineralogical studies of Dolomite As a Basic refractory material , Inter ceram 225-241
- Wenclawiak, G., Mlaker, G. & Thomas, R., 1988- Basic Production in the modern steelmaking procedd proceedings of International Symposium on Refractories , China , 452-466